

却速度が大きいほど低温衝撃値は高い傾向を示した。このことは Photo. 2 からも明らかなように徐冷になるとフェライト粒度は比較的粗くなり、かつフェライトバンドが発達し、均質性を失なうにいたることと関係があるとみられる。

Fig. 3 に定型仕上げ材および 950°C 熱処材の焼準温度と -60°C 5mm U シャルピー衝撃値との関係を示した。定型材は焼準の効果が大きいが、熱処材では比較的小ない結果を示した。

IV. 結 言

低温用 Si-Mn 系アルミキルド鋼管の製造にさいしての熱間工程差は低温衝撃値にかなり大きな影響をもたらすことを示した。すなわち熱処材は定型材に比しその低温衝撃値を上昇せしめ、しかも熱処温度は 950°C 付近に最良条件のピークを示した。

熱間仕上げ材は焼準により低温性の改善がなされるが、冷却速度を大にして粗粒化およびフェライトバンド発生を防がねばならない。

なおこの種钢管は焼入焼戻によりもつともすぐれた耐低温衝撃性がえられるが、-60°C 位の温度までの使用には焼準によつても充分良好な低温性質がえられるとの判断をえた。

文 献

- 1) 小柳, 他: 鉄と鋼, 48 (1962) 3, p. 510.

b69, 14, 018, 41-415, 539, 56, 620, 178, 746, 22

(141) 低温用鋼板の低温脆性の一判定法について 62321

(脆性亜裂伝播停止遷移温度を求める)

一方法について—II) 1466 ~ 1468
日本海事協会技術研究所 工博 阿部 三郎

A Method to Estimate Low Temperature Brittleness of Steel Plate.

(A method to obtain crack-arresting transition temperature—II)

Dr. Saburo ABE.

I. 緒 言

脆性破壊に関する研究の進歩にはいちじるしいものがあり、その結果実際の構造物における脆性破壊の発生と伝播特性を近似的に再現すると考えられる研究室の大型試験 (Robertson 試験, 2重引張試験, ESSD 試験など)

Table 1. Mechanical properties of the steel plates tested.

Kinds of steel	Thickness (mm)	Y.P. (kg/mm ²)	T.S. (kg/mm ²)	EI. (%)	Heat-treatment
Al-killed C	12	41	49	48	Normalized
"	12	37	48	37	"
"	25	35	44	59	Quenched & tempered
Ni-Cr-Mo-V-B	20	87	91	32	"
"	30	80	85	24	"
2.5% Ni	12	37	48	41	Normalized
3.5% Ni	12	48	54	41	"

1, Fig. 2 参照)

以上の事から逆に field stress が 12 kg/mm^2 , 20 kg/mm^2 の下では脆性亀裂伝播エネルギー値がそれぞれ 1.4 kg-m , 2.1 kg-m あれば、たとえ鋼板の種類がことなつても脆性亀裂の伝播は停止するものと考えられよう。

各供試鋼板について測定した脆性亀裂伝播エネルギー——試験温度曲線においてそれぞれ 1.4 kg-m , 2.1 kg-m に対応する遷移温度（以後 $T_{1.4}$, $T_{2.1}$ で表わす）を求め、これらと各鋼板の脆性亀裂伝播停止遷移温度との関係を図示すると Fig. 3, Fig. 4 をえる。これらの結果から fT_{12} と $T_{1.4}$, fT_{20} と $T_{2.1}$ (fT_{12} , fT_{20} は平坦温度型 2重引張試験における脆性亀裂伝播停止温度を表わし、数字はそれぞれの場合の field stress 12 kg/mm^2 , 20 kg/mm^2 を示す) 間には密接な関連が存在

し、しかもほぼ直線関係にあることが判る。前回の実験点に今回の低温用鋼板についての実験点を加え、最小二乗法の計算によりつぎの式がえられる。

$$fT_{12} = -5^\circ\text{C} + 0.85T_{1.4} \quad \dots \dots \dots (1)$$

$$fT_{20} = -5^\circ\text{C} + 0.81T_{2.1} \quad \dots \dots \dots (2)$$

したがつて、2重衝撃試験で伝播エネルギー遷移温度、たとえば $T_{1.4}$ を測定すれば、(1) 式から脆性亀裂伝播

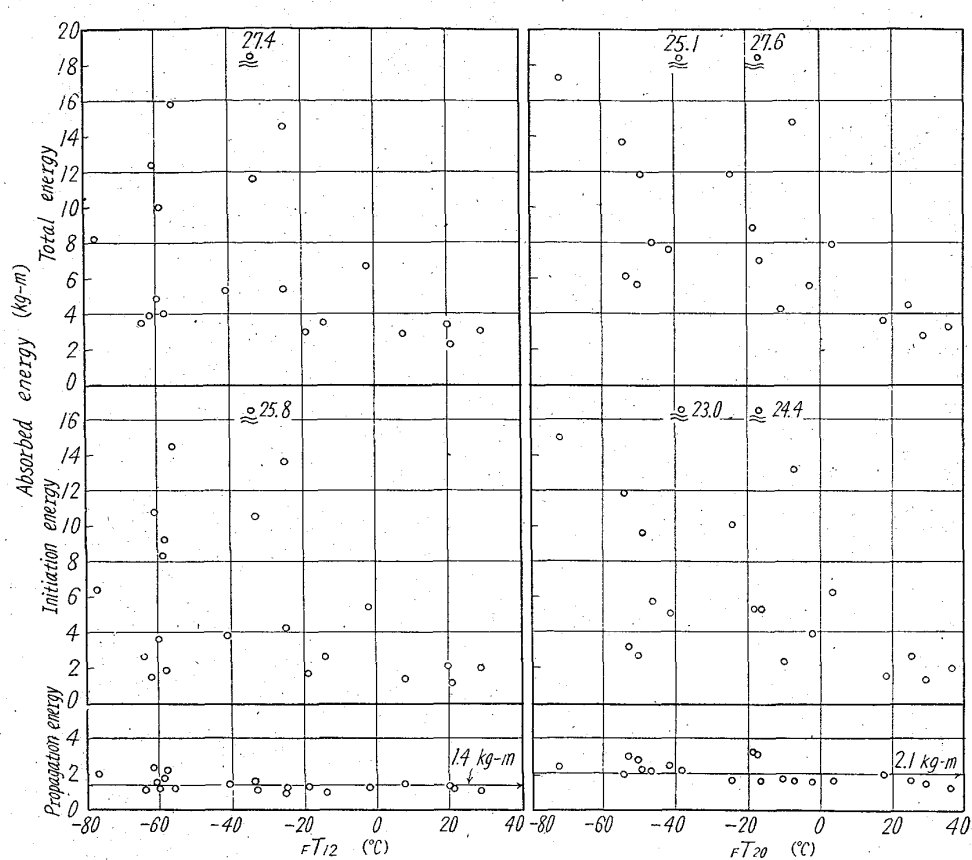


Fig. 1. Correlation between absorbed energy and crack-arresting temperature.

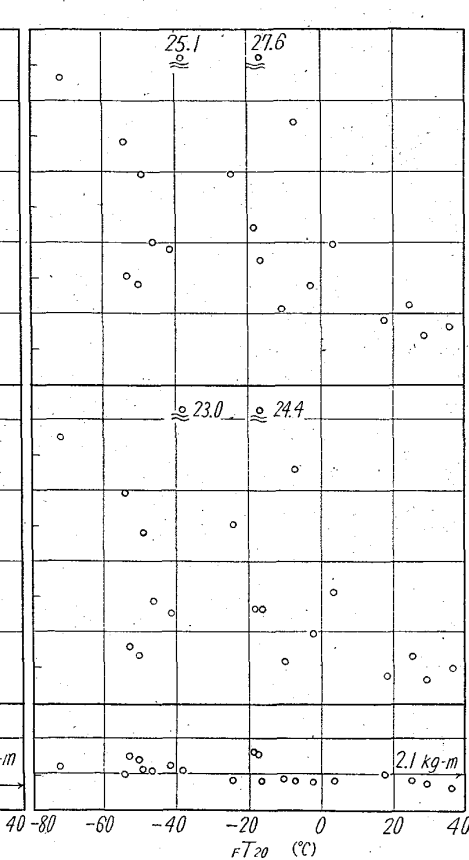


Fig. 2. Correlation between absorbed energy and crack-arresting temperature.

停止遷移温度 fT_{12} を求めることができる。

以上は field stress それぞれ 12 kg/mm^2 , 20 kg/mm^2 の場合について述べたが、field stress 10 kg/mm^2 , 14 kg/mm^2 , 16 kg/mm^2 , 18 kg/mm^2 , 22 kg/mm^2 , 24 kg/mm^2 の各場合についてもしらべた。

つぎに fT_{10} , fT_{12} , ..., fT_{24} の標準誤差について検討を行なつた。前回と今回の実験点を含め最小二乗法の計算を行ない、相関係数、推定値の標準誤差を計算した

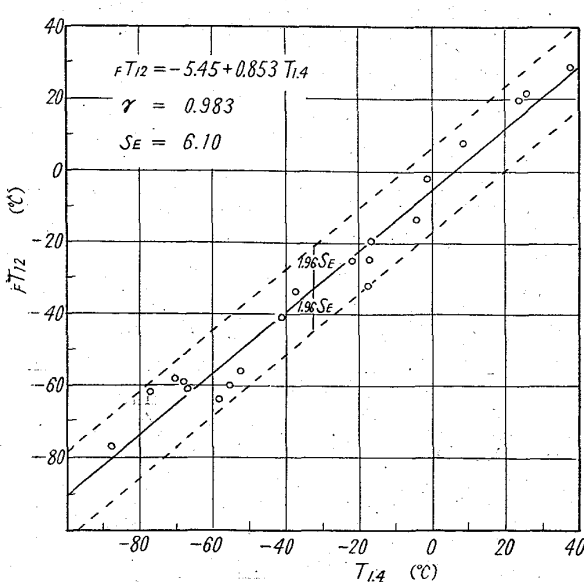


Fig. 3. fT_{12} - $T_{1.4}$ curve.

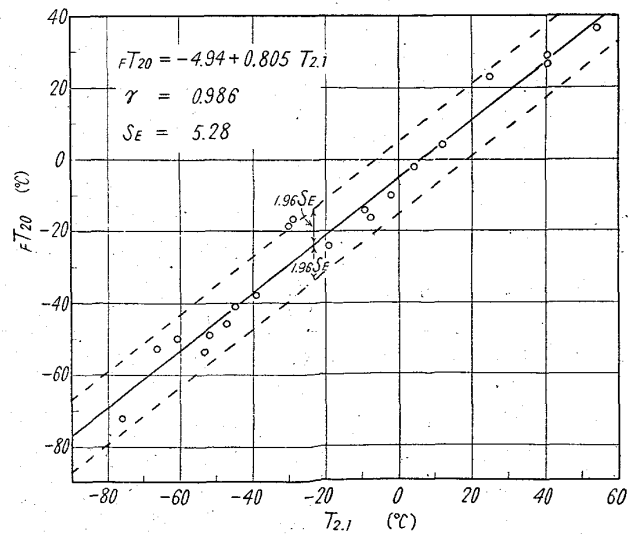


Fig. 4. fT_{20} - $T_{2.1}$ curve.

結果の例を Fig. 3, Fig. 4 に示す。図中 γ は相関係数、 SE は推定値の標準誤差をあらわす。

IV. 結 言

Robertson 試験、2重引張試験などは、鋼板の脆性亜裂伝播特性の試験として優れたものであることは異論はないが、この種の試験には大型の引張試験機、多数の大型試験板を要し、試験経費が嵩み、また多くの日時を要するなどの諸点から日常の試験には適しない。

著者は2重衝撃試験法によつて脆性亜裂伝播エネルギーを測定し、これから脆性亜裂伝播停止遷移温度を推定する簡便な一方法を創案した、この方法は現在市販のボイラーメタル、船体用鋼板、50kg～80kg 高張力鋼板、低温用アルミキルド鋼板、2.5% Ni 鋼板、3.5% Ni 鋼板など各種の鋼板にわたり適用しえることを確認することができた。

文 獻

- 1) 阿部: 鉄と鋼, 47 (1961) 10, p. 1551.
- 2) 吉識, 金沢: 造船協会論文集, 102 (1958), p. 39.
- 3) 越賀: 造船協会論文集, 108 (1960), p. 355.

669.15724-194.3、669.112.227.343
(142) 9% Ni 鋼中の残留オーステ

ナイトに関する研究

八幡製鉄所技術研究所 62322

工博 濑川 清・工博 長島晋一
関野昌蔵・○島田春夫・横大路照男

Studies on the Residual Austenite in
9% Ni Steel. 1468～1470

Dr. Kiyoshi SEGAWA, Dr. Shinichi NAGASHIMA,
Shozō SEKINO, Haruo SHIMADA
and Teruo YOKOŌJI.

I. 緒 言

これまでマルテンサイト組織中に存在する残留オーステナイトが鋼材の機械的性質に大きな影響をおよぼすことが推定されているが、その正確な挙動は知られていない。この理由は残留オーステナイトの存在量、化学組成の調査が困難なことによると思われる。しかし W. KOCH¹⁾ はこの問題の重要性に着目し、Cr-Mo-V 鋼に存在する残留オーステナイトを電解抽出法で分離し、その化学組成、存在量が機械的性質におよぼす影響を調査している。たまたま最近低温強靱鋼について残留オーステナイトの機械的性質におよぼす影響が問題にされているので²⁾、これらに関する基礎研究の一環としてまず残留オーステナイトを抽出分離してその性状を詳細に調査することを試みた。なお前記の研究論文¹⁾ には抽出方法が記載されていないので当所で研究中の電解液を使用して抽出分離をおこなうこととした。

II. 実験経過ならびに結果

1. 試 料

実験に供した試料の化学組成を Table 1 にまたその熱履歴をつぎに示す。

Heat treatment of samples

Sample A; 550°C × 1 h after 790°C × 40 mn, W. Q

Table 1. Chemical composition of sample tested.

Micro-structure	C (%)	Si (%)	Mn (%)	P (%)	S (%)	Ni (%)	Sol Al (%)
Martensite	0.09	0.26	0.72	0.008	0.014	9.6	0.05

Sample B; 550°C × 8 h after 790°C × 40 mn, W. Q

2. 実験方法ならびに結果

(1) 電解抽出法の検討

Table 1 の sample から 10mm × 10mm × 30mm の試片を切りとり、電解条件を調査することにした。すなわち試片の表面を脱脂したあと、酸で表面の薄い被膜をとり去り、つぎの各電解液中でその表面電位を測定した。その結果を Fig. 1 に示す。

検討した電解液

- (1) 5% Na-citrate + 1.2% KBr に HCl(1+1) を加えて pH を 7 にしたもの
- (2) 5% Na-citrate + 1.2% KBr に HCl(1+1) を加えて pH を 6 にしたもの
- (3) 5% Na-citrate + 1.2% KBr に HCl(1+1) を加えて pH を 5 にしたもの

Fig. 1 より pH 7, 6 の場合には表面電位が高く、水素電位よりプラス側になりやすい。しかし pH が 5 になると表面電位が低下し、水素電位よりマイナス側にまでいる。一般に表面電位が高いと気孔が生じて、地鉄が脱落しやすいが、表面電位が低くなると均等に電解し地鉄の脱落を防止できる。しかし液の pH が低すぎると抽出しようとするものの自体が分解しやすくなるので pH は比較的大きい方が望ましい。したがつて今回の実験には pH 5 の電解液を使用することにした。また Fig. 1 より明らかなように pH 5 の電解液の場合には、電流密度が低いほど表面電位が低くなっているので電流密度を低くする方が望ましい。しかし電解時間を比較的短かくする必要があるので一応 10mA/cm² で残留オーステナイトの電解抽出を試みることにした。

(2) 電解抽出残渣の検討

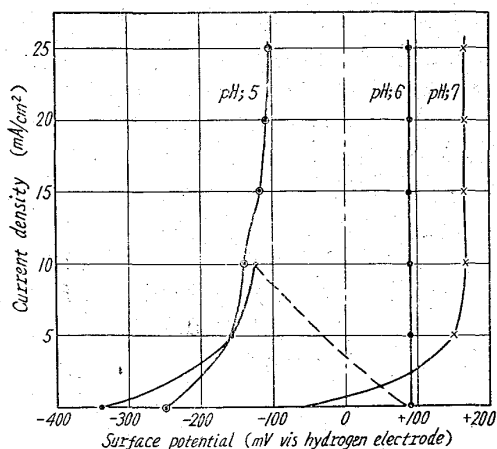


Fig. 1. Relation between current density and surface potential of 9% Ni steel.